

**ПРЕДВАРИТЕЛЬНЫЕ РЕЗУЛЬТАТЫ ОПРЕДЕЛЕНИЯ ХАРАКТЕРНЫХ ЧАСТОТ  
ОЧАГОВЫХ СПЕКТРОВ МЕСТНЫХ ЗЕМЛЕТРЯСЕНИЙ ПО ЗАПИСЯМ СТ.  
ПЕТРОПАВЛОВСК-КАМЧАТСКИЙ**

***Гусев А.А.<sup>1,2</sup>, Гусева Е.М.<sup>2</sup>***

<sup>1</sup>*Институт вулканологии и сейсмологии ДВО РАН, г. Петропавловск-Камчатский, gusev@emsd.ru*

<sup>2</sup>*Камчатский филиал Геофизической службы РАН, г.Петропавловск-Камчатский,*

***Введение.***

Аки [6] и Брун [8] предложили модель очагового спектра землетрясения  $\omega^{-2}$  («омега-квадрат»), которая стала фактическим стандартом современной сейсмологии. В этой модели очаговый спектр смещения – плоский, с единственной характерной граничной частотой - корнер-частотой  $f_c$ . Однако в той же работе [8] Брун также ввел модель очагового спектра с двумя корнер-частотами ( $\epsilon$ -модель), и с ветвью типа  $\omega^{-1}$  в промежутке между ними. Далее ее корнер-частоты обозначаются  $f_{c1}$  и  $f_{c2}$ . Гусев [3] показал реальность  $f_{c2}$  на материале наблюдений; там же был выявлен удивительный характер скейлинга для  $f_{c2}$ . Если  $f_{c1} \sim M_0^{-1/3}$  ( $M_0$  – сейсмический момент) в согласии с идеей подобия спектров, то для  $f_{c2}$  вообще не было обнаружено явной зависимости от магнитуды  $M$  или  $M_0$ . Позднее был выявлен медленный рост  $f_{c2}$  с  $M_0$ . Таким образом, обнаружилось, что грубо нарушается подобие очаговых спектров (а, значит, и самих очагов). Однако модель спектра с двумя корнер-частотами не стала общепринятой.

Хэнкс [10] отметил наличие верхнего среза наблюденного спектра ускорений при некоторой частоте  $f$ , обозначенной им  $f\text{-max}$ . Гусев [9] и Пападжорджиу и Аки [11] предположили, что  $f\text{-max}$  – это очаговый эффект, то есть третья характерная или корнер-частота. Но Андерсон и Хок [7] показали, что наблюдаемая  $f\text{-max}$  формируется иначе – как эффект фильтрации слоем высокого затухания непосредственно под приемником. Повидимому, в формирование  $f\text{-max}$  делают вклад оба фактора. Вопрос мало изучен. Далее обозначим предполагаемую верхнюю частоту среза очагового спектра -  $f_{c3}$ . «Станционную»  $f\text{-max}$ , отражающую эффект поглощения под станцией, обозначим  $f_{\text{max-погл}}$ . Соотношение обсуждаемых характерных частот иллюстрируется на рис.1.

В работе решается задача: для землетрясений Камчатки с  $M=4\text{-}6.5$ : (1) выявить наличие  $f_{c2}$  и проверить реальность аномального скейлинга  $f_{c2}(M)$ ; (2) выявить наличие  $f_{c3}$  и при удаче проверить наличие скейлинга  $f_{c3}(M)$ . Для этого определяли очаговые спектры по волнам  $P$  и  $S$ . При этом следовало предварительно исправить наблюденные спектры за затухание.

***Предварительный этап – установление модели затухания  $P$  и  $S$  волн.***

Чтобы создать возможность оценки формы очаговых спектров на основе спектров записей, нужно скомпенсировать частотно-зависимое затухание на трассе распространения волн и под станцией. Возникает задача: оценить параметры затухания для условий станции РЕТ, данные которой обрабатывали. Принята следующая модель затухания для амплитудного спектра Фурье объемных волн:

$$-\ln(\Phi(f)/\Phi_0(f)) = \pi f \kappa = \pi f \kappa_0 + \pi f r_{\text{eff}} / c Q(f) = \pi f \kappa_0 + \pi f (r_{\text{eff}}/100) \kappa_{100}(f)$$

где  $\Phi(f)$  – наблюденный спектр;  $\Phi_0(f)$  – такой же спектр для гипотетического случая отсутствия потерь;  $r_{\text{eff}}$  - гипоцентralное расстояние (эффективное);  $\kappa_0$  – постоянный эффект слоя под станцией ( $\kappa_0 = \ln 2/\pi f_{\text{max-погл}}$ );  $\kappa_{100}(f) = \kappa_{100}$  – потери на трассе при  $r=100$  км;  $Q(f)$  – добротность на трассе;  $c$  - скорость волн. Второй член в сумме обычно записывают как линейную функцию от гипоцентralного расстояния  $r$ . В нашем случае явно учитывали фактическую нелинейную зависимость потерь  $\kappa(r)$  от расстояния, поэтому аргумент записан как  $r_{\text{eff}}$ . Модель применялась для  $P$  и  $S$  волн. Получили следующие оценки основных параметров поглощения:  $\kappa_{0S}=0.016$  с,  $\kappa_{0P}=-0.025$  с;  $Q_S(f)=165f^{0.42}$  (см. рис. 2);  $Q_P(f)=83f^{0.42}$ . Модель  $Q_S(f)$  простирана: в полосе 1-6 Гц в основном по [1], в полосе 5-25 Гц – на основе [4].  $Q_P(f)$  оценили на основе выявленной эмпирической связи  $\kappa_{100P}=1.15 \kappa_{100S}$ . Кривая зависимости  $\kappa(r)$  принята согласно рис. 7 из [4]. Отрицательное значение  $\kappa_{0P}$  – аномалия, связанная, вероятно, с необычной структурой верхних слоев скоростного разреза под ст. РЕТ; для целей внесения эмпирических поправок эта аномалия несущественна.



Рис. 1. Схема соотношения верхних граничных частот  $f_{\text{max}}$ : очаговой (или  $f_{c3}$ ) и станционной  $f_{\text{max}}$ -погл в сопоставлении с наблюдаемой  $f_{\text{max}}$ .

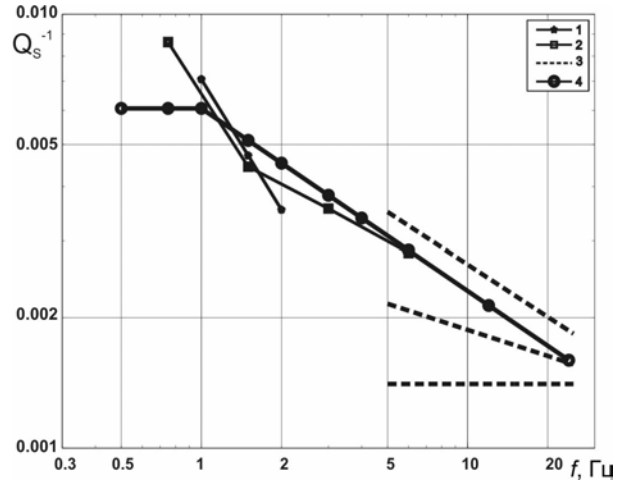


Рис. 2. Зависимости  $Q_S(f)$  – опубликованные и принятая. 1 - по [5]; 2 - по [1]; 3 - неразличимые варианты  $Q_S(f)$ , выведенные на основе оценок из [4]; 4 – принятая модель.

### Исходные данные и пример обработки.

Использованы записи акселерографа FBA цифровой станции PET (каналы LG), за 1993-2005 гг. с частотой опроса 80 Гц; для  $P$ -волн - канал HNZ; для  $S$  волн – среднеквадратическое значение по каналам HNE и HNN. Всего отобрано 439 записей. Гипоцентральные расстояния: 80-220 км; глубины 0-200 км; магнитуда  $M_L=4-6.5$  ( $K^{\Phi 68}=9.5-14$ ). На рис. 3 приведен пример обработки исходные (нормированные к пику) компоненты ускорения и три пары (для  $P$ -и  $S$ - волн) сглаженных спектров Фурье исправленных за геометрическое расхождение, для смещений ( $D(f)$ ), скоростей ( $V(f)$ ), и ускорений( $A(f)$ ), - исходные и приведенные к очагу путем коррекции за поглощение; а также соответствующие спектры шума (микросейсм). Каждая фигура из двух или трех сцепленных прямолинейных сегментов – это идеализированная аппроксимация формы спектра, которая строится путем визуального анализа в диалоговом окне, и позволяет оценить его корнер-частоты  $f_{c1}, f_{c2}$  и  $f_{c3}$ .

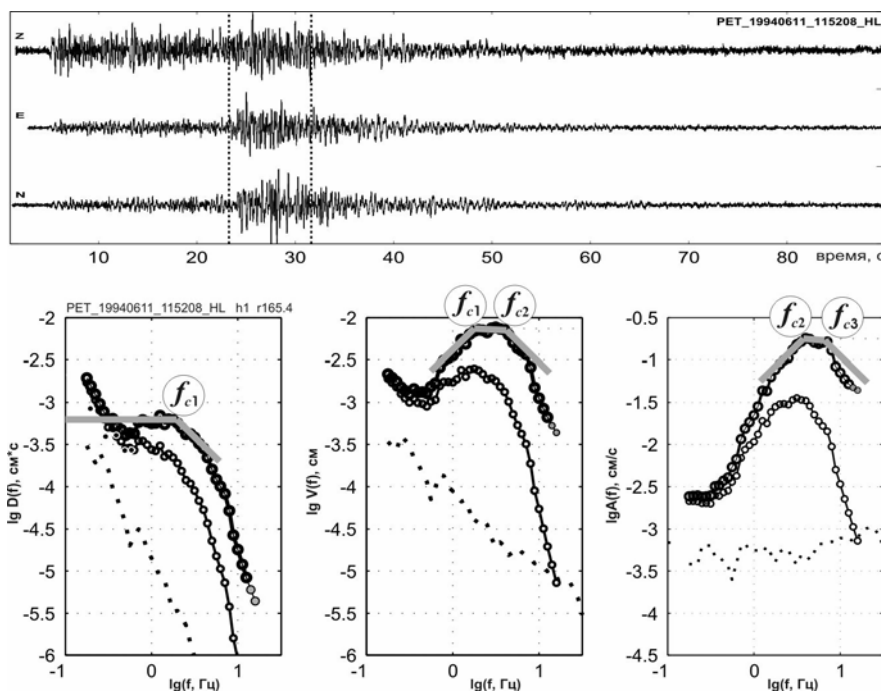


Рис. 3 Иллюстрация процедуры обработки  $S$  волн для события 1994.06.11 в 11:52, глубина  $h=1$  км. Вверху: три компоненты записи и окно для расчета спектра. Внизу: исходные и скорректированные за поглощение спектры смещения  $D(f)$ , скорости  $V(f)$  и ускорения  $A(f)$ . Мелкие значки – наблюденный спектр; крупные значки – скорректированный спектр, пунктир – спектр шума. Серые фигуры построены на основе визуального выбора частот  $f_{c1}, f_{c2}$  и  $f_{c3}$ .

### Проверка корректности поправок за поглощение; вопрос реальности $f_{c3}$ .

Среди индивидуальных скорректированных спектров  $S$ -волн  $A_S(f)$  имеется заметное число случаев, когда форма  $A_S(f)$  в области максимума приблизительно плоская до 25 гц и выше, см. рис. 4.. Именно такой картины следует ожидать, если, следуя [2], пользоваться обычной моделью очаговых спектров  $\omega^{-2}$ , то есть считать, что истинный очаговый спектр плоский (а очаговая  $f$ -макс или  $f_{c3}$  не существует, либо ненаблюдана). В рамках этой модели приблизительно плоская форма скорректированного спектра говорит, что проведенная корректировка искажений спектра за счет распространения в среднем верна. В случаях типа рис 4в и 4д, когда очаговый спектр ускорения в области своего максимума медленно растет или падает, можно предполагать избыточную или недостаточную коррекцию. Вероятная причина - разброс параметров фактического затухания (функции  $Q(f)$ ) между трассами. Однако в большинстве случаев скорректированный спектр  $A_S(f)$  явно неплоский – в нем присутствует выраженная верхняя граничная частота  $f_{c3}$ .

Картина для  $P$ -волн менее определенная. Скорректированный спектр  $A_P(f)$  почти всегда имеет выраженную верхнюю граничную частоту  $f_{c3}(P)$ , но она обычно существенно ниже, чем  $f_{c3}(S)$  для той записи. Повидимому, поправка за поглощение для  $P$ -волн здесь ненадежна и, в основном, занижена. Поэтому далее оценки  $f_{c3}(P)$  рассматривали только в тех случаях, когда  $f_{c3}(P) < 13$  Гц. В целом, большинство очаговых спектров  $A(f)$  имеет верхнюю частоту среза ниже 25 Гц для  $S$ -волн, и часто ниже 13 Гц для  $P$ -волн. Таким образом, данные четко указывают на реальное присутствие в большой части данных верхнего среза спектра  $A(f)$  (очаговой  $f$ -макс).

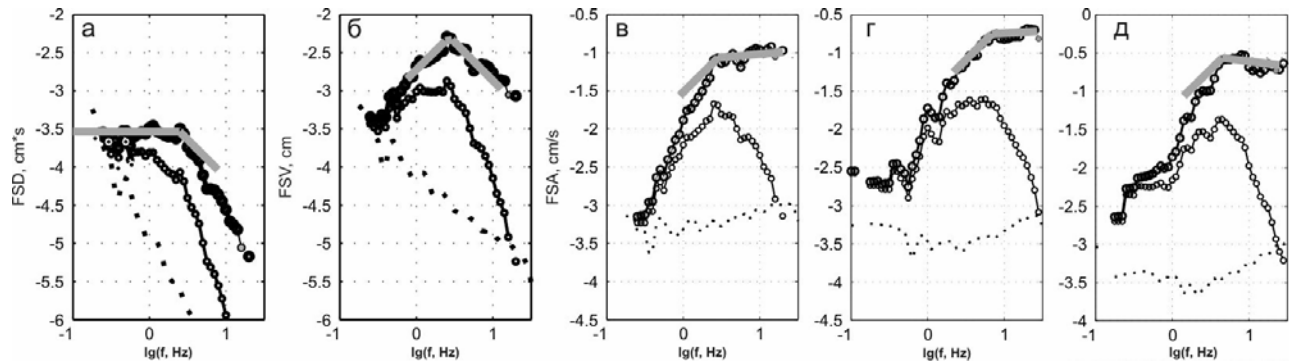


Рис 4. Примеры приблизительно плоского спектра ускорения  $S$ -волн  $A_S(f)$  – иллюстрация эффективности поправок за поглощение для  $S$ -волн. (а, б, в) – спектры  $D(f)$ ,  $V(f)$  и  $A(f)$  для события 1994.03.22 в 19:59,  $h=8$  км. (г, д) - спектры  $A(f)$  для событий 1995.09.07 в 10:57,  $h=41$  км,  $r=118$  км; 2005.01.02 в 11:0139,  $h=168$  км. Одновременно серия графиков а,б, в показывает случай классического спектра типа  $\omega^{-2}$ .

### Проверка реальности корнер-частоты $f_{c2}$ .

Среди изученных спектров  $V(f)$  многие не имеют выраженного плоского участка максимума. Так что  $f_{c1}$  и  $f_{c2}$ , в сущности, неразличимы; это - случай поведения спектра типа  $\omega^{-2}$ , см. рис 4б. Но имеется не менее заметное число случаев, когда присутствует выраженный широкий плоский максимум  $V(f)$ ; в таких случаях наличие двух отдельных изломов спектра при  $f=f_{c1}$  и при  $f=f_{c2}$  несомненно, см. рис. 5. Имеется также много промежуточных случаев, один из них на рис 3.

### Разнообразие очаговых спектров; спектры типа $\omega^{-3}$ .

В спектре  $A_S(f)$  на частотах ниже  $f_{c3}$  часто виден приблизительно плоский участок, но столь же часто этот спектр имеет выраженный пик, в котором совмещаются  $f_{c2}$  и  $f_{c3}$ , см. рис. 5 внизу. Этот случай, когда плоский участок спектра  $A_S(f)$  отсутствует, не предсказывается ни одной известной моделью очагового спектра. В других нередких случаях совмещаются  $f_{c1}$  и  $f_{c2}$ , как на рис 4б. Это - случаи, когда стандартная модель спектра  $\omega^{-2}$  верна. Наконец, иногда совмещаются все три корнер-частоты  $f_{c1}$ ,  $f_{c2}$  и  $f_{c3}$ . Это – случай очагового спектра типа  $\omega^{-3}$ , обсуждавшегося в 1970е годы, а затем забытого. Оказалось, что и такие спектры присутствуют в наших данных, см. рис. 6.

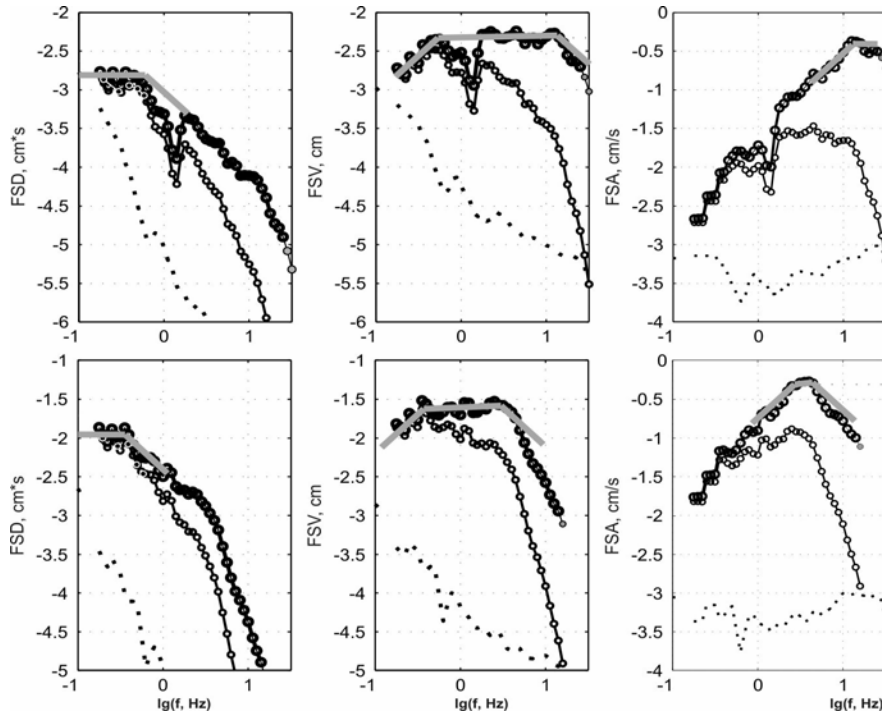


Рис. 5. Примеры спектра скорости S-волн  $V_S(f)$  с широким максимумом – иллюстрация реальности характерной частоты  $f_{c2}$ . Вверху – спектры  $D(f)$ ,  $V(f)$  и  $A(f)$  для события 1993.11.15 в 18:49,  $h=40$  км. Внизу – то же для события 1994.10.24 в 04:04 с  $h=11$  км. Нижняя серия графиков одновременно показывает случай выраженного верхнего среза спектра  $A(f)$  и четкой характерной частоты  $f_{c3}$ .

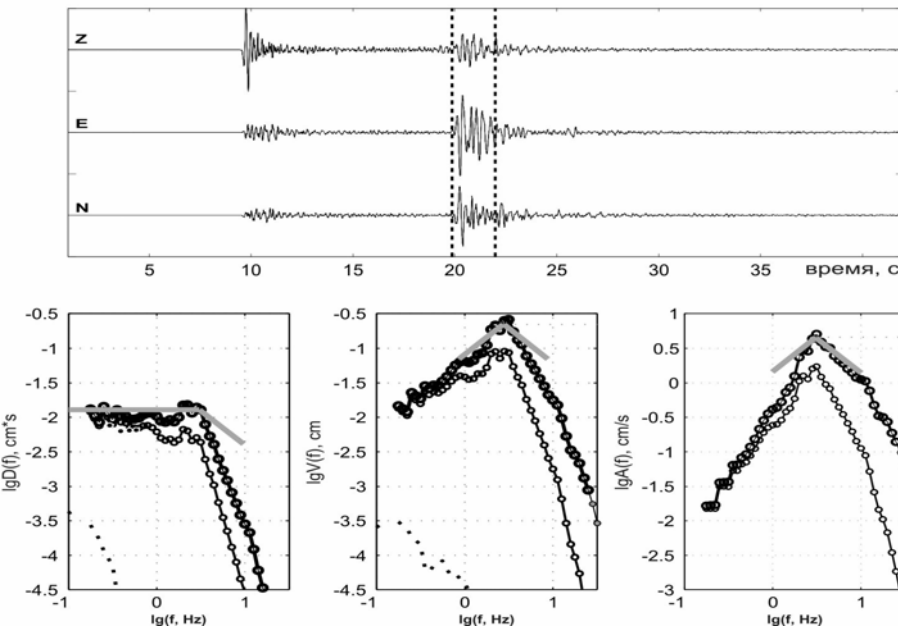


Рис. 6. Случай очагового спектра типа  $\omega^{-3}$ . Вверху – запись ускорения; внизу – спектры  $D(f)$ ,  $V(f)$  и  $A(f)$  для события 2000.08.27 в 01:45 с  $h=88$  км

### Зависимости $f_{c2}$ и $f_{c3}$ от магнитуды.

На рис. 7а,б показана зависимость  $f_{c3}$  от магнитуды. Данные, где оценки  $f_{c3}(P)$  выше 13 Гц, указаны треугольником на этой границе, аналогично для  $f_{c3}(S)$  использована граница 18 Гц. Такое цензурирование (ограничение, клипирование) данных введено, чтобы с гарантией отсечь и ненадежные, и даже не вполне уверенные оценки. Несмотря на цензурирование, заметна тенденция к падению  $f_{c3}$  с магнитудой, особенно ясная для данных  $S$ -волн. На рис. 7в,г приведена зависимость  $f_{c2}$  от магнитуды. Видна выраженная тенденция к падению  $f_{c2}$  с магнитудой. Однако темп спада намного слабее, чем ожидаемый для случая подобия спектров. Поскольку в случае случая подобия  $f_{c2}$  пропорционально  $f_{c1}$ , можно ожидать связи типа  $f_{c2} \sim M_0^{-0.16-0.25}$ . Фактическая же зависимость примерно соответствует скейлингу  $f_{c2} \sim M_0^{-0.16-0.25}$ , так что предположение о подобии определенно не выполняется. В то же время связь  $f_{c1}$  с  $M_0$  для наших данных (график не приведен) следует обычному скейлингу  $f_{c1} \sim M_0^{-1/3}$ , говорящему о подобии наших очагов в этом аспекте.

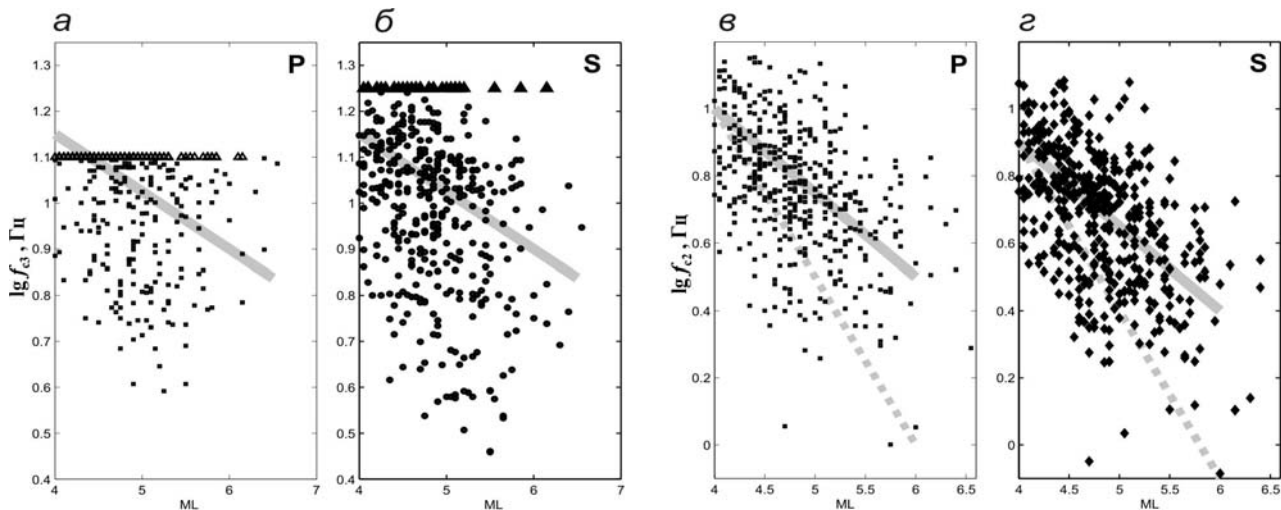


Рис. 7. Зависимости характерных частот от магнитуды  $M_L$ . а -  $\lg f_{c3}$  для  $P$ -волн как функция  $M_L$ ; треугольники обозначают значения  $\lg f_{c3} > 1.1$ . Серая линия примерно соответствует скейлингу  $f_{c3} \sim M_0^{-0.083}$ . б – то же для  $S$ -волн, порог оответствует  $\lg f_{c3} > 1.25$ . в -  $\lg f_{c2}$  для  $P$ -волн как функция  $M_L$ ; сплошная серая линия соответствует скейлингу  $f_{c2} \sim M_0^{-0.1667}$ ; серый пунктир – аналогичная линия для скейлинга  $f_{c2} \sim M_0^{-0.3333}$ , ожидаемого в случае подобия спектров. г – то же для  $S$ -волн.

### **Выводы и заключение.**

- Скомпилированы модели затухания  $S$  и  $P$  волн для среды под ст. РЕТ. Модель для  $S$ -волн успешно протестирована в диапазоне 0.5-25 Гц с использованием пересчитанных к очагу спектров с площадкой в спектре ускорения. Для  $P$ -волн аналогичное тестирование относительно надежно лишь для диапазона 0.5-13 Гц.
- Определены характерные (корнер-) частоты очаговых спектров  $f_{c1}, f_{c2}$  и  $f_{c3}$  для 420 землетрясений в радиусе 220 км от станции.
- Большая часть очаговых спектров  $S$ -волн имеет выраженную верхнюю граничную частоту  $f_{c3}$  («очаговую  $f$ -макс») ниже 18 Гц. Выявлен медленный рост  $f_{c3}$  с магнитудой  $M_L$ .
- Заметная доля очаговых спектров имеет выраженную  $f_{c2}$ , заметно превышающую  $f_{c1}$ ; иначе говоря, имеется площадка в спектре скорости. Выявлен рост  $f_{c2}$  с  $M_L$ , примерно согласно скейлингу  $f_{c2} \sim M_0^{-0.16-0.25}$ , что говорит о заметном отклонении спектров от поведения, ожидаемого в предположении подобия.

### **Литература**

1. Аубакиров И.Р. Оценка характеристик затухания поперечных волн в литосфере Камчатки по наблюдениям цифровой широкополосной станции «Петропавловск». //Физика Земли. 2005. № 10. С. 46-58
2. Гордеев Е.И., Рыкунов Л.П. Спектры Р-волн от удалённых землетрясений в областях частот 1-10 Гц .// Изв. АН СССР. Физика Земли. 1976. № 7. С. 90-92.
3. Гусев А.А. Описательная статистическая модель излучения очага землетрясения и ее применение к оценке короткопериодного сильного движения. // Вулканол.и Сейсмол. 1984, №1, 3-22
4. Гусев А.А., Гусева Е.М. Проверка применимости параметра затухания «каппа» для быстрой грубой оценки гипоцентрического расстояния (по данным ст. Петропавловск) . // Сейсмологические и геофизические исследования на Камчатке. К 50-летию детальных сейсмологических наблюдений. Под ред. Е.И. Гордеева, В.Н. Чеброва , Петропавловск-Камчатский, «Новая книга»,..2012, Глава 15. С. 397-411.
5. Гусев А.А.и Шумилина Л.С. Моделирование связи балл-магнитуда-расстояние на основе представления о некогерентном протяженном очаге. // Вулканол. Сейсмол. 1999 №4-5, 29-40
6. Aki, K. Scaling law of seismic spectrum. J. Geophys. Res, 1967, 72, 1217–1231
7. Anderson, J. G., and Hough, S. E. A model for the shape of the Fourier amplitude spectrum of acceleration at high frequencies. Bull Seismol Soc Amer, 1984, 74, 1969–1993
8. Brune, J. N. Tectonic stress and the spectra of seismic shear waves from earthquakes, J Geophys Res, 1970, 75, 4997–5009
9. Gusev, A. A. Descriptive statistical model of earthquake source radiation and its application to an estimation of short-period strong motion, Geophys J R Astr Soc, 1983, 74, 787–808.
10. Hanks, T. C. fmax. Bull. Seismol. Soc Amer, 1982, 72, 1867–1879.
11. Papageorgiou, A. S., and Aki, K., A specific barrier model for the quantitative description of inhomogeneous faulting and the prediction of the strong ground motion. I: Description of the model. Bull. Seismol. Soc Amer., 1983, 73, 693–722